

## 3D Υπολογιστική Όραση και Γεωμετρία: Signed Distance Function

Ηλίας Ουζούνης  
up1083749

17 Μαΐου 2024

# Περιεχόμενα

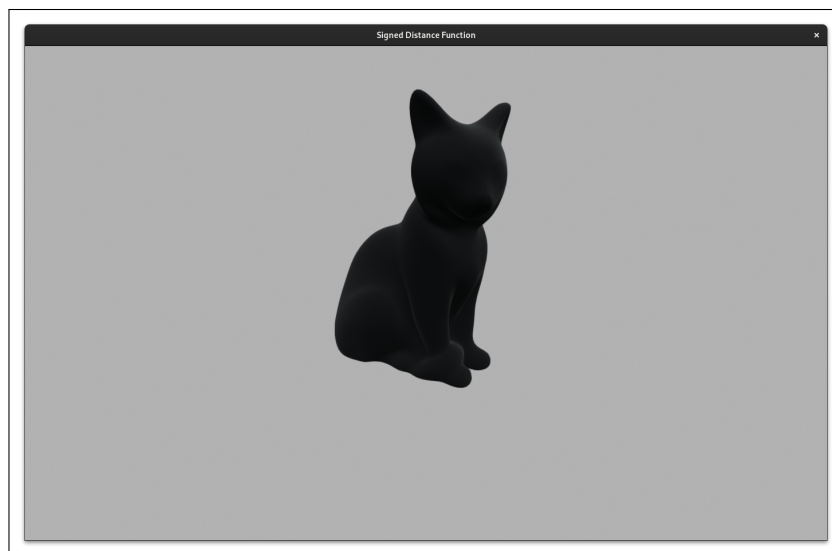
1	Part A	2
1.1	Loading a Watertight Mesh . . . . .	2
1.2	Porjection of model onto a plane . . . . .	2
1.2.1	Δημιουργία του επιπέδου . . . . .	2
1.2.2	Δειγματοληψία του επιπέδου . . . . .	3
1.2.3	Υπολογισμός της προβολής . . . . .	4
1.2.4	Επιτάχυνση των υπολογισμών . . . . .	4

# 1. Part A

## 1.1 LOADING A WATERTIGHT MESH

Ως watertight mesh, η Open3D ορίζει ένα Mesh το οποίο είναι edge manifold, vertex manifold και όχι self intersecting. Πιο απλά, ένα watertight mesh είναι ένα mesh που αποτελείται από μία κλειστή επιφάνεια, χωρίς κενά, με ξεκάθαρο μέσα και έξω.

Τα περισσότερα meshes που είναι διαθέσιμα online είναι watertight. Στα πλαίσια τις εργασίας χρησιμοποιήθηκε το μοντέλο ενός αγάλματος γάτας [1]. Περιλαμβάνει 24.4k vertex και 12.0k faces και είναι watertight. Τα textures του μοντέλου αυτού δεν χρησιμοποιήθηκαν, καθώς δεν είναι απαραίτητα για την εργασία.

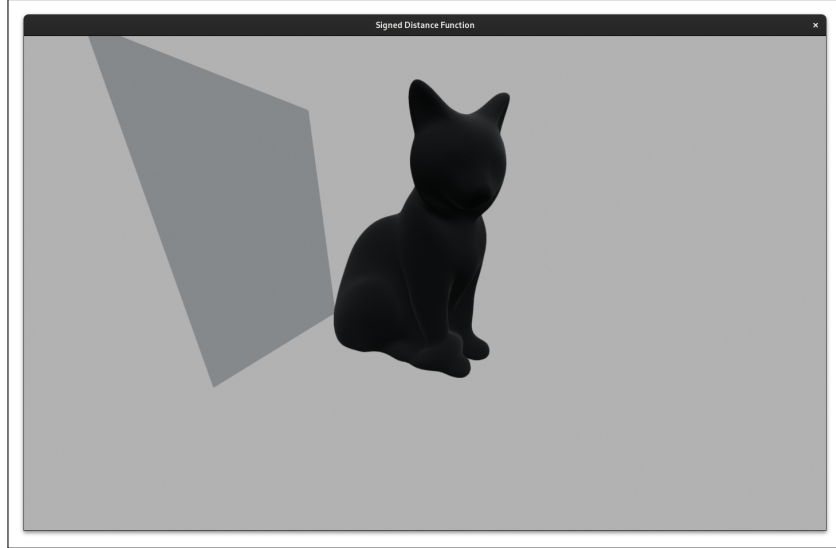


Σχήμα 1.1.1: Το μοντέλο της γάτας που χρησιμοποιήθηκε

## 1.2 PORJECTION OF MODEL ONTO A PLANE

### 1.2.1 Δημιουργία του επιπέδου

Για να προβληθεί το μοντέλο της γάτας στο επίπεδο, έπρεπε πρώτα να δημιουργηθεί το επίπεδο. Βρίσκοντας το bounding box του μοντέλου και προσθέτοντας ένα μικρό offset στο z, δημιουργείται το επίπεδο. Το επίπεδο αυτό είναι παράλληλο στο επίπεδο x-y και βρίσκεται πίσω από το μοντέλο. Για να μπορούν να εμφανιστούν ενδιαφέροντες προβολές, υπάρχει η δυνατότητα περιστροφής του επιπέδου γύρω από τον άξονα y.



Σχήμα 1.2.1: Το επίπεδο προβολής πίσω από το μοντέλο

Οι υπολογισμοί που απαιτούνται για την εργασία είναι βοηθητικό να γίνουν στο σύστημα συντεταγμένων του επιπέδου αντί του μοντέλου. Για τον λόγο αυτό υπολογίστηκε ένα rotation matrix που μεταφέρει το σύστημα συντεταγμένων του μοντέλου στο σύστημα συντεταγμένων του επιπέδου. Αυτό το rotation matrix υπολογίζεται με βάση το κανονικό διάνυσμα του επιπέ-

δου. Το διάνυσμα πρέπει να περισταφεί ώστε να πέφτει πάνω στο  $\begin{bmatrix} 0 \\ 0 \\ 1 \end{bmatrix}$ . Εδώ χρησιμοποιήθηκε μία τροποποιημένη μορφή του Rodrigues' rotation formula [2]

$$\begin{aligned}
 v &= a \times b \\
 K &= \begin{bmatrix} 0 & -v_z & v_y \\ v_z & 0 & -v_x \\ -v_y & v_x & 0 \end{bmatrix} \\
 \theta &= \arccos(a \cdot b) \\
 R &= I + \sin(\theta)K + (1 - \cos(\theta))K^2
 \end{aligned} \tag{1.2.1}$$

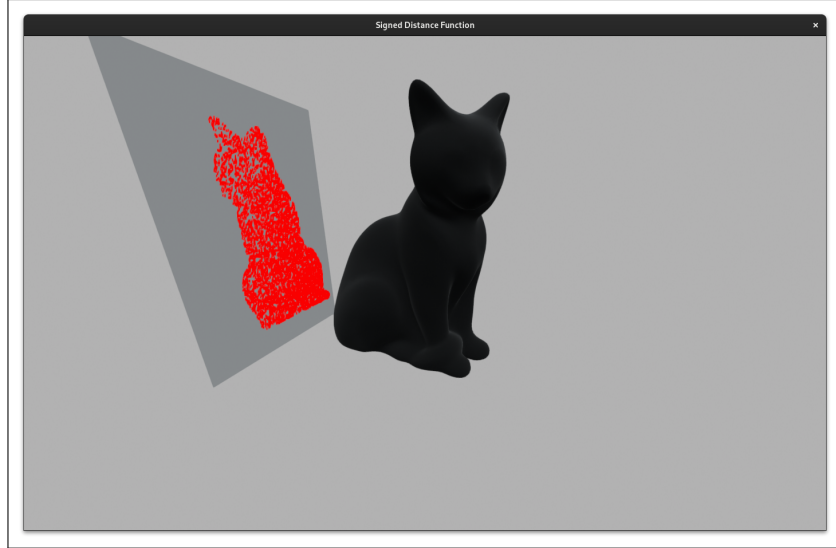
Υπολογίζει τον πίνακα που περιστρέφει το διάνυσμα  $a$  στο διάνυσμα  $b$ . Δηλαδή  $Ra = b$ . Μαζί με αυτό υπολογίστηκε και το αντίστροφό του  $R^{-1}$  για την αντίθετη μετατροπή.

### 1.2.2 Δειγματοληψία του επιπέδου

Για την ομοιόμορφη δειγματοληψία του επιπέδου χρησιμοποιήθηκε η συνάρτηση `create_random` της κλάσης `PointCloud` από την δοθέντη βιβλιοθήκη `nvrrpywork`. Η συνάρτηση όμως, δέχεται σαν όρια για την δειγματοληψία ένα `Cuboid`. Αν σαν ορίσματα έπαιρνε 2 αντίθετες κορυφές του επιπέδου, τότε θα επέστρεφε σημεία μέσα στο ορθογώνιο που ορίζουν και όχι μόνο στην επιφάνειά του (όπως απαιτείται).

Εδώ χρειάζεται η αλλαγή του συστήματος συντεταγμένων. Στο σύστημα συντεταγμένων του επιπέδου, το ορθογώνιο που ορίζεται από 2 αντίθετες κορυφές του ταυτίζεται με το επίπεδο καθώς τα 2 σημεία έχουν τις ίδιες  $z$  συντεταγμένες. Έτσι, δημιουργούνται τα σημεία στο σύστημα συντεταγμένων του επιπέδου και μετατρέπονται έπειτα στο σύστημα συντεταγμένων του μοντέλου για να εμφανιστούν στα σωστά σημεία.

Για αυτά τα σημεία, γίνεται ένας έλεγχος αν ανήκουν στην προβολή του επιπέδου ή όχι. Όσα βρίσκονται εντός της προβολής χρωματίζονται με κόκκινο και τα υπόλοιπα με μαύρο. Στο τέλος, εμφανίζεται με κόκκινο μία προσέγγιση της προβολής του μοντέλου στο επίπεδο. Όσα περισσότερα σημεία, τόσο καλύτερη η προσέγγιση.



Σχήμα 1.2.2: Προσέγγιση της προβολής του μοντέλου στο επίπεδο

### 1.2.3 Υπολογισμός της προβολής

Ο έλεγχος αν ένα σημείο ανήκει στην προβολή του μοντέλου δεν είναι τόσο απλός. Σε μία πρώτη προσέγγιση, υπολογίζονται οι προβολές των τριγώνων του μοντέλου στο επίπεδο και ελέγχεται αν το σημείο βρίσκεται εντός κάποιου τριγώνου. Αν βρίσκεται, τότε ανήκει στην προβολή του μοντέλου. Οι υπολογισμοί γίνονται πάλι στις συντεταγμένες του επιπέδου για ευκολία. Οι κορυφές των τριγώνων μεταφέρονται στο σύστημα συντεταγμένων του επιπέδου και έπειτα ξεσκαρτάρεται η  $z$  συντεταγμένη για να προκύψει η προβολή.

Για τον έλεγχο αν ένα σημείο  $p$  βρίσκεται εντός ενός τριγώνου χρησιμοποιήθηκαν οι βαρυκεντρικές συντεταγμένες οι οποίες περιγράφουν το σημείο ως το γραμμικό συνδιασμό των κορυφών του τριγώνου.

$$p = u \cdot p_1 + v \cdot p_2 + w \cdot p_3 \quad (1.2.2)$$

όπου  $p_1, p_2, p_3$  οι κορυφές του τριγώνου και  $u, v, w$  οι βαρυκεντρικές συντεταγμένες. Για να βρίσκεται το σημείο μέσα στο τρίγωνο αρκεί να ισχύει

$$u, v, w \geq 0 \text{ και } u + v + w = 1. \quad (1.2.3)$$

Για τον υπολογισμό των  $u, v, w$  χρησιμοποιήθηκαν οι εξισώσεις [3]:

$$\begin{aligned} u &= \frac{\begin{vmatrix} p_2 \cdot x - p_1 \cdot x & p \cdot x - p_1 \cdot x \\ p_2 \cdot y - p_1 \cdot y & p \cdot y - p_1 \cdot y \end{vmatrix}}{\begin{vmatrix} p_2 \cdot x - p_1 \cdot x & p_3 \cdot x - p_1 \cdot x \\ p_2 \cdot y - p_1 \cdot y & p_3 \cdot y - p_1 \cdot y \end{vmatrix}} \\ v &= \frac{\begin{vmatrix} p_3 \cdot x - p_1 \cdot x & p \cdot x - p_1 \cdot x \\ p_3 \cdot y - p_1 \cdot y & p \cdot y - p_1 \cdot y \end{vmatrix}}{\begin{vmatrix} p_2 \cdot x - p_1 \cdot x & p_3 \cdot x - p_1 \cdot x \\ p_2 \cdot y - p_1 \cdot y & p_3 \cdot y - p_1 \cdot y \end{vmatrix}} \\ w &= 1 - u - v \end{aligned} \quad (1.2.4)$$

### 1.2.4 Επιτάχυνση των υπολογισμών

Οι υπολογισμοί αυτοί είναι αρκετά αργοί για μεγάλα μοντέλα με πολλά τρίγωνα και πολλά σημεία που χρειάζεται να ελεγχθούν. Η βιβλιοθήκη `numpy` βοηθάει στην παραλληλοποίηση πολλών από αυτών των υπολογισμών αξιοποιώντας πολλαπλασιασμούς πινάκων ώστε αντί

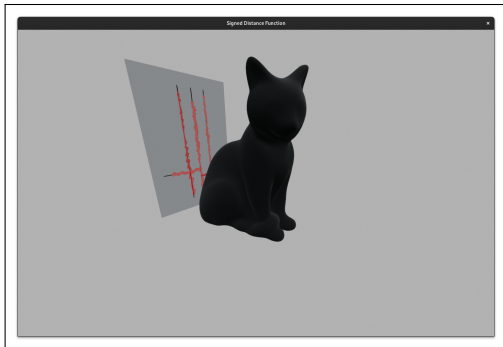
να γίνονται οι υπολογισμοί σε κάποιο βρόγχο για κάθε σημείο, γίνονται για όλα τα σημεία ταυτόχρονα.

Ορίζεται μία νέα συνάρτηση η οποία παίρνει σαν όρισμα ένα numpy array από σημεία μεγάλους  $[n, 3]$  και επιστρέφει ένα boolean numpy array  $[n, m]$  όπου  $m$  το πλήθος των τριγώνων. Για κάθε σημείο, που αντιστοιχεί σε μία γραμμή στον πίνακα που επιστρέφεται, αν κάποια τιμή είναι True, σημαίνει ότι πέφτει πάνω στην προβολή κάποιου τριγώνου του μοντέλου. Αν όλες οι τιμές στην γραμμή είναι False, σημαίνει ότι βρίσκεται εκτός της προβολής.

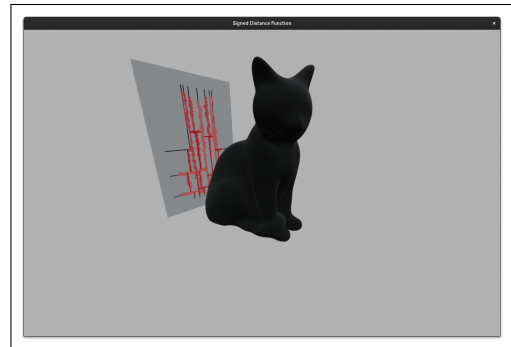
Επιπλέον, στην εξίσωση υπολογισμού των βαρυκεντρικών συντεταγμένων (1.2.4) κάποιες τιμές είναι ανεξάρτητες του σημείου  $p$  που ελέγχεται και μπορούν να προϋπολογιστούν.

Ακόμα χρειάζεται ο έλεγχος με όλα τα τρίγωνα του μοντέλου που καθυστερεί σημαντικά τους υπολογισμούς. Για να μειωθούν οι πράξεις που χρειάζονται, υλοποιήθηκε μία δομή KD-Tree η οποία χωρίζει τα τρίγωνα σε μικρότερες ομάδες ανάλογα με την θέση τους στον χώρο. Έτσι, ένα σημείο δεν ελέγχεται με τρίγωνα που βρίσκονται πολύ μακριά του.

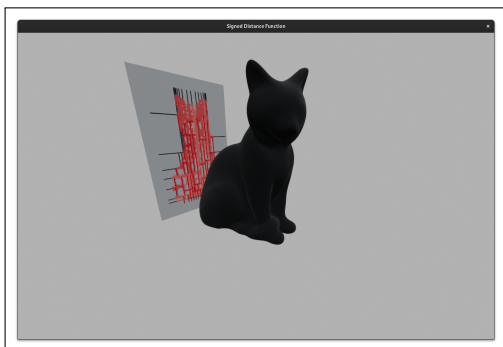
Για την δημιουργία του KD-Tree, δίνονται σαν όρια οι προβολές των vertices του μοντέλου στο επίπεδο και ένα indexed list με τα τρίγωνα. Στον αναδρομικό αλγόριθμο κατασκευής, επιλέγεται ένας άξονας και βρίσκεται το μέσο σημείο των κορυφών επί του άξονα. Τα σημεία τότε χωρίζονται σε δύο ομάδες ανάλογα με την θέση τους προς τον μέσο. Για τα τρίγωνα θα ισχύει ότι οι κορυφές τους βρίσκονται αποκλιστικά στην μία ή στην άλλη ομάδα, ή και στις δύο. Για τα τρίγωνα που όλες τους οι κορυφές βρίσκονται στην ίδια ομάδα, συνεχίζουν σαν όρισμα στην αναδρομική κλήση. Για αυτά που έχουν κορυφές σε διαφορετικές ομάδες, που τα τέμνει ο άξονας που επιλέχθηκε, αποθηκεύονται στον κόμβο του δέντρου.



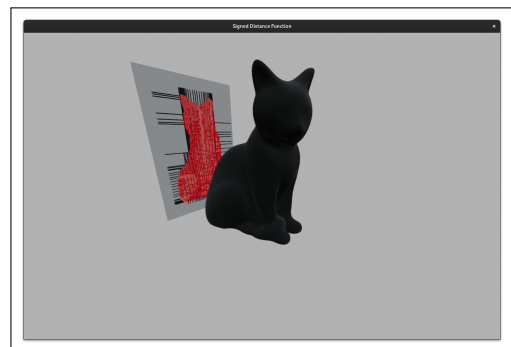
Σχήμα 1.2.3: KD-Tree με 3 iterations



Σχήμα 1.2.4: KD-Tree με 5 iterations



Σχήμα 1.2.5: KD-Tree με 7 iterations



Σχήμα 1.2.6: KD-Tree με 10 iterations

Σχήμα 1.2.7: Σταδιακό χτίσιμο του KD-Tree με τα τρίγωνα σε κάθε κόμβο

Οπτικοποιώντας το KD-Tree φαίνονται οι διαφορετικές ομάδες τριγώνων που τέμνονται από την ευθεία που επιλέχθηκε και πώς δημιουργούνται ανάλογα με το βάθος που έχει φτάσει ο αλγόριθμος.

Για τον έλεγχο των σημείων, ξεκινώντας από την ρίζα, ελέγχονται για συγκρούσης με τα τρίγωνα αποθηκευμένα στον κόμβο. Τα σημεία που βρίσκονται μέσα σε κάποιο από αυτά τα τρίγωνα δεν συνεχίζουν ενώ τα υπόλοιπα χωρίζονται σε δύο ομάδες ανάλογα με την θέση τους και συνεχίζουν στο αντίστοιχο παιδί. Με αυτόν τον τρόπο, γλυτώνονται πολλές συγκρούσεις τριγώνων-σημείων που δεν χρειάζονται.

Αυτή η βελτίωση είναι αισθητή για μεγάλα πλήθη σημείων και τριγώνων. Για τα 12.0k τρίγωνα έγιναν οι ακόλουθες μετρήσεις.

Πλήθος σημείων	Χρόνος χωρίς KD-Tree (sec)	Χρόνος με KD-Tree (sec)
150	0.125	0.032
500	0.392	0.063
1000	0.765	0.097
5000	5.023	0.403
10000	11.66	0.728
15000	N/A	1.216

Για 15k σημεία, ο αλγόριθμος χωρίς KD-Tree δεν ολοκληρώθηκε λόγω της μεγάλης πολυπλοκότητας και το πρόγραμμα τερματίστηκε με error. Αντίθετα, ο αλγόριθμος με KD-Tree ανταπεξήλθε στο απαιτητικό πλήθος σημείων και είχε παντού σημαντικά μικρότερο χρόνο εκτέλεσης.

# Bibliography

- [1] Riley Queen (all) and Rico Cilliers (guidance). Concrete cat statue. [https://polyhaven.com/a/concrete\\_cat\\_statue](https://polyhaven.com/a/concrete_cat_statue).
- [2] Wikipedia. Rodrigues' rotation formula. [https://en.wikipedia.org/wiki/Rodrigues%27\\_rotation\\_formula](https://en.wikipedia.org/wiki/Rodrigues%27_rotation_formula).
- [3] Philippe B. Laval. Mathematics for computer graphics - barycentric coordinates. <https://users.csc.calpoly.edu/~zwood/teaching/csc471/2017F/barycentric.pdf>, November 2003. Section 1.1.